

## 2次元乱流の数値モデル

東京電機大 福湯章夫

### §1. 序

$\partial\Omega$  を境界とする領域 $\Omega$ を占める流体の乱流を考える。  
流体の運動は非圧縮の Navier-Stokes 方程式,

$$\frac{\partial \mathbf{u}}{\partial t} + \mathbf{u} \cdot \nabla \mathbf{u} = -\nabla p + \nu \nabla^2 \mathbf{u}, \quad (1)$$

$$\operatorname{div} \mathbf{u} = 0, \quad (2)$$

で記述されるものとする。(1), (2)の解は、境界条件

$$\mathbf{u}(r, t) |_{\partial\Omega} = \alpha(r, t), \quad (3)$$

及び初期条件

$$\mathbf{u}(r, 0) = \mathbf{u}_0(r), \quad (4)$$

のもとで一意的に決まるものとする。 $\alpha$ ,  $\mathbf{u}_0$  は与えられた関数である。関数空間  $H(\Omega)$  を

$$H(\Omega) = \{ \mathbf{u}(r) \mid \operatorname{div} \mathbf{u}(r) = 0, \mathbf{u}|_{\partial\Omega} = \alpha, r \in \Omega \}$$

で定義し、適当な座標軸を決めて  $H(\Omega)$  を  $\Omega$  中の流体運動の相空間と考える。 $H(\Omega)$  の一点は連続の式と境界条件を満たす一つの流れの場を与えるから、(1)~(4) の解、すなわち

一つの realization  $u(r, t)$  は、 $H(\Omega)$  の中の一つのトライ"を  
クリアで表わされる。

乱流問題で現われる平均で最も一般性のあるのは、多  
数の realization  $u_i(r, t)$  についての平均

$$\langle f(u) \rangle = \frac{1}{n} \sum_{i=1}^n f(u_i), \quad (5)$$

あるいはこれを一般化して、確率密度  $p(u, t)$  についての平  
均

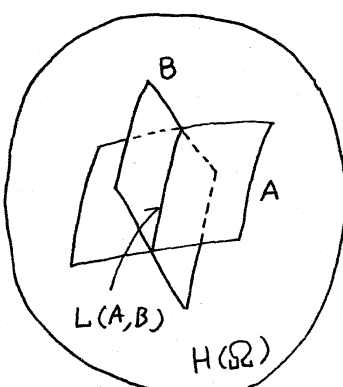
$$\langle f(u) \rangle = \int p(u) f(u) du \quad (6)$$

である。特にある時刻  $t = t_0$  指定したときの平均を  $\langle \rangle_t$   
と書くこととする。一般に  $p(u)$  を決定する方法、あるいはどう  
のう  $n$  realization の集団が最も良く現実の乱流現象を表わ  
すかを知る方法は知られていないが、この論文では、集団平  
均  $\langle \rangle_t$  を

$$\langle \dots \rangle_t \approx \langle \dots \rangle_{A(t), B(t), \dots}$$

で近似できるものと仮定する。ここに  $\langle \rangle_{A, B, \dots}$  は相空間の  
中で"パラメータ  $A, B, \dots$ "  
の値を指定して得られる超曲  
面の交線  $L(A, B, \dots)$  上での平  
均値を意味するものとする。

$A, B, \dots$  としてどんな物理  
量を選んでらよりであるか。



Ω が 2 次元領域であるとする。よく知られて 1) 3 よう  
n, エネルギー -

$$E = \frac{1}{2} \int_{\Omega} u^2 d\Omega, \quad (7)$$

エンストロビ -

$$S = \frac{1}{2} \int_{\Omega} \omega^2 d\Omega, \quad \omega = \text{rot } u, \quad (8)$$

は 2 次元 Navier-Stokes 方程式の非線形項によって保存される。  
乱流に対しては

$$\frac{d}{dt} E = -2\nu S, \quad (9)$$

$$\frac{d}{dt} S = -2\nu P, \quad (10)$$

ここで  $P$  は

$$P = -\frac{1}{2} \int_{\Omega} \omega v^2 \omega d\Omega \quad (11)$$

で与えられる。  $P$  を パリントロビ - と呼ぶことにする。(9)  
から  $2\nu S$  は エネルギー 減衰率を表わすことがある。 一様等  
方性乱流については、(11) を 部分積分すると

$$P = \frac{1}{2} \int_{\Omega} (\nabla \omega)^2 d\Omega > 0 \quad (12)$$

となるので、(10) から  $S$  は 常に 減衰する。 初期値  $S_0$  有限の  
値を 与えるものとすれば、  $v \rightarrow 0$  で  $\frac{dE}{dt} \rightarrow 0$  となる。 これが  
2 次元乱流と 3 次元乱流の 本質的な 相違である。

ところで  $P$  の持つ 細胞学的な 意味を考えてみよう。 境界  
の影響が無視できるものとすると、  $P$  は (12) で 与えられるか  
ら、  $P$  は 湍度分布の 平均勾配、 あるいは 等湍度線の長さの一

一つの目安を見出すことができよう。2次元流の非粘性渦度方程式は

$$\frac{\partial \omega}{\partial t} + u \cdot \nabla \omega = 0 \quad (13)$$

で、これから各流体粒子の渦度は一定に保たれることがわかる。そのためには  $\omega$  が保存量になるわけであるが、対流項によるとかきませの結果、直観的には初期に滑らかな渦度分布が与えられても、時間と共に複雑に入り組んだ渦度分布に発展することが予想される。E,  $\alpha$  は非粘性の運動の定数だから、E,  $\alpha$  の値からはこのかきませの効果を区別できます、P がこの効果を識別するペラメーターを見出すことができよう。たゞ対流項のために P がいつでも増大することを一般的に示すことはできない。非粘性の Navier-Stokes 方程式は時間と軸に対して不变で、ある瞬間ある速度場山に対して P が増大するものとすれば、同じ時刻 - 山なる速度場に対しては P は減少する。しかも山と - 山は、ある瞬間のみに注目すれば実現される速度場としては同じ資格を持つであります。P が時間と共に増大するというのは、長時間にわたっての平均としての意味である。この事情を一次元の Euler 方程式

$$\frac{\partial u}{\partial t} + u \frac{\partial u}{\partial x} = 0, \quad (14)$$

について考えてみよう。初期条件  $u(x, 0) = f(x)$  の  $f$  と " (14) の解は

$$u = f(u - xt) \quad (15)$$

で与えられる。 (14) の解で  $u=0$  の点はいつまで  $\neq u=0$  かとくまでは、一般性を失わず  $f(x-a)=0$  として  $-a \leq x \leq a$  の範囲だけを考えることにする。Pを

$$P = \int_{-a}^a \left( \frac{\partial u}{\partial x} \right)^2 dx \quad (16)$$

で定義すると (15) から

$$P(t) = \int_{-a}^a \left[ \{f'(x)\}^2 / \{1+t f'(x)\} \right] dx \quad (17)$$

を得る。 $\tau_0 = -1 / \{ \min_{-a \leq x \leq a} f'(x) \}$  とすれば "  $0 \leq t < \tau_0$  " で (17) は意味を持つ。更に (14), (16) から一般に

$$\frac{dP}{dt} = - \int_{-a}^a \left( \frac{\partial u}{\partial x} \right)^3 dx \quad (18)$$

$$\frac{d^2P}{dt^2} = 2 \int_{-a}^a \left( \frac{\partial u}{\partial x} \right)^4 dx \quad (19)$$

が示せる。 (19) から  $\frac{\partial u}{\partial x} = 0$  でないとき  $\frac{d^2P}{dt^2} > 0$  だから、Pの時間変化は下に凸であることがわかる。特に  $t=0$  では

$$\frac{dP}{dt} = - \int_{-a}^a \{f'(x)\}^3 dx \quad (20)$$

で、ある初期条件  $f(x)$  に対して  $\frac{dP}{dt} > 0$  とすると、初期条件  $g(x) = -f(x)$ 、更に  $g(x) = f(-x)$  に対して  $\frac{dP}{dt} < 0$  となる。ところが (17) から  $t \rightarrow \tau_0 - 0$  で、適当な滑らかな生意の初期条件に対して (17) で  $P \rightarrow +\infty$  であることが示せる。すなはち  $t=0$  で  $\langle P \rangle = 0$  の集団をとっても、あるいはより一般に  $t=0$  でどんな集団を取っても、その集団を初期値とする realization の集団については、 $t < \min\{\tau_0\}$  内で充分時間が

たてば " $\langle P \rangle$ " は必ず "増大する"。2次元流のハリニストロビー、3次元流のエンストロビーについても同様の一般的結果が得られないが、準正規分布近似を使えば、2次元流については  $P$  が指数的に増大すること、3次元流では  $\bar{v}$  が有限時間内に発散することが知られている。

## § 2. 数値モデル

ここで "集団平均" を指定するハラメータ  $A, B, \dots$  とし、各時刻に於ける  $\langle E \rangle, \langle S \rangle, \langle P \rangle$  を採用する。 $\langle E \rangle, \langle S \rangle, \langle P \rangle$  に対する方程式は、Navier-Stokes 方程式から

$$\left\{ \begin{array}{l} \frac{d}{dt} \langle E \rangle = -2\nu \langle S \rangle, \\ \frac{d}{dt} \langle S \rangle = -2\nu \langle P \rangle, \end{array} \right. \quad (21)$$

$$\left\{ \begin{array}{l} \frac{d}{dt} \langle P \rangle = \langle F \rangle - 2\nu \langle G \rangle \end{array} \right. \quad (22)$$

$$\left\{ \begin{array}{l} \frac{d}{dt} \langle E \rangle = -2\nu \langle S \rangle, \\ \frac{d}{dt} \langle S \rangle = -2\nu \langle P \rangle, \\ \frac{d}{dt} \langle P \rangle = \langle F \rangle - 2\nu \langle G \rangle \end{array} \right. \quad (23)$$

である。 $\langle F, G \rangle$  は

$$F = \frac{1}{2} \int_{\Omega} \{ (\boldsymbol{\mu} \cdot \nabla \omega) \nabla^2 \omega + \omega \nabla^2 (\boldsymbol{\mu} \cdot \nabla \omega) \} d\Omega \quad (24)$$

$$G = \frac{1}{4} \int_{\Omega} \{ (\nabla^2 \omega)^2 + \omega \nabla^2 (\nabla^2 \omega) \} d\Omega \quad (25)$$

で与えられる。(21), (22), (23) に於いて集団平均  $\langle \cdot \rangle$  は  $\langle \cdot \rangle_{E, S, P}$  の意味である。但し実際の計算に当っては、交換  $L(E, S, P)$  上での平均を  $L(E, S, P)$  上にランダムに拾う多數の標本点についての平均で近似する。 $t = 0$  で  $E = E_0, S = S_0, P = P_0$  が与えられたとすると、 $L(E_0, S_0, P_0)$  上に拾

→ た標本点、以下、(21), (22), (23) の右辺を計算する。

$L(E_0, S_0, P_0)$  土の一つの標本点は、領域内で連続の式及び境界条件を満し、かつエネルギー、エントロピー、パリニストロピーの値がそれぞれ  $E_0, S_0, P_0$  である一つの場を表すから、この条件を満たす多數の場から速度の関数  $f(u)$  の平均  $\langle f(u) \rangle$  が計算できるわけである。以下同様にある時刻  $t = \tau$  の  $\langle E \rangle, \langle S \rangle, \langle P \rangle$  の値から  $L(\langle E \rangle, \langle S \rangle, \langle P \rangle)$  土の平均として (21), (22), (23) の右辺を計算し、

$$\langle E(\tau + \Delta t) \rangle = \langle E(\tau) \rangle + \Delta t \cdot \frac{d}{dt} \langle E(\tau) \rangle$$

等によって時刻  $t = \tau + \Delta t$  の  $\langle E(\tau + \Delta t) \rangle, \langle S(\tau + \Delta t) \rangle, \langle P(\tau + \Delta t) \rangle$  を計算する。

### § 3. 一様等方性乱流

前節で与えたモデルをえらぶの一様等方性乱流に応用してみよう。(23) の右辺  $\langle F \rangle$  は、非線形項による  $\langle P \rangle$  の増大の効果を表わすが、前節で考慮した方程式の性質のために、土で標本点が一様に分布するように進歩していくものとする  $\langle F \rangle_{E, S, P} = 0$  になってしまふ。そこで非線形項のかきませの効果を取り入れるために、 $\langle F \rangle$  に対して適当なモデル化が必要である。いさゝぎもモデル化が考えられるが、ここでは直観的に非線形項は流れを非粘性熱平衡状態に近づけ

3作用を持つと考えて

$$\langle F \rangle = K(P_{eq} - \langle P \rangle)$$

で近似する。 $P_{eq}$  は Kraichnan によるとえらばれ非粘性流  
平衡状態

$$E_{eq}(k) = \frac{\pi k}{2(\alpha + \beta k^2)} \quad (26)$$

で3つめの式の値とする。 $\alpha, \beta$  は  $E, S$  及び  $v$  の波数領域  
の上限  $k_{max}$ , 下限  $k_{min}$  の関数としてえらばる。一様等  
方性乱流では,  $P$  はエネルギースペクトルを用いて

$$P = \int_0^\infty k^4 E(k) dk$$

で表わさる。

$$P_{eq} = \frac{\pi}{8\beta} (k_{max}^4 - k_{min}^4) - \frac{\pi\alpha}{4\beta^2} (k_{max}^2 - k_{min}^2) \\ + \frac{\pi\alpha^2}{4\beta^3} \ln \left\{ (\alpha + \beta k_{max}^2) / (\alpha + \beta k_{min}^2) \right\}$$

となる。 $1/k$  は緩和時間に相当するが, ここで  $\gamma$  は外部パラメータとしてえらばるを得ない。

図1に計算例として  $v = 0.002$ ,  $k_{min} = 1$ ,  $k_{max} = 60$   
で,  $K = 1$  としたときのエネルギースペクトルの時間変化を  
示す。初期条件は  $E_0 = 1$ ,  $S_0 = 1000$ ,  $P_0 = 1.05 \times 10^6$  で,  
とき初期エネルギースペクトルは  $k_0 = 11$  附近で  $\delta$  関数的で  
鏡像性を持つ。2次元乱流では, エネルギーの非粘  
性の運動の定数であるため, 高波数領域へのエネルギーの  
流れに伴って低波数領域へのエネルギーの流入がある。この

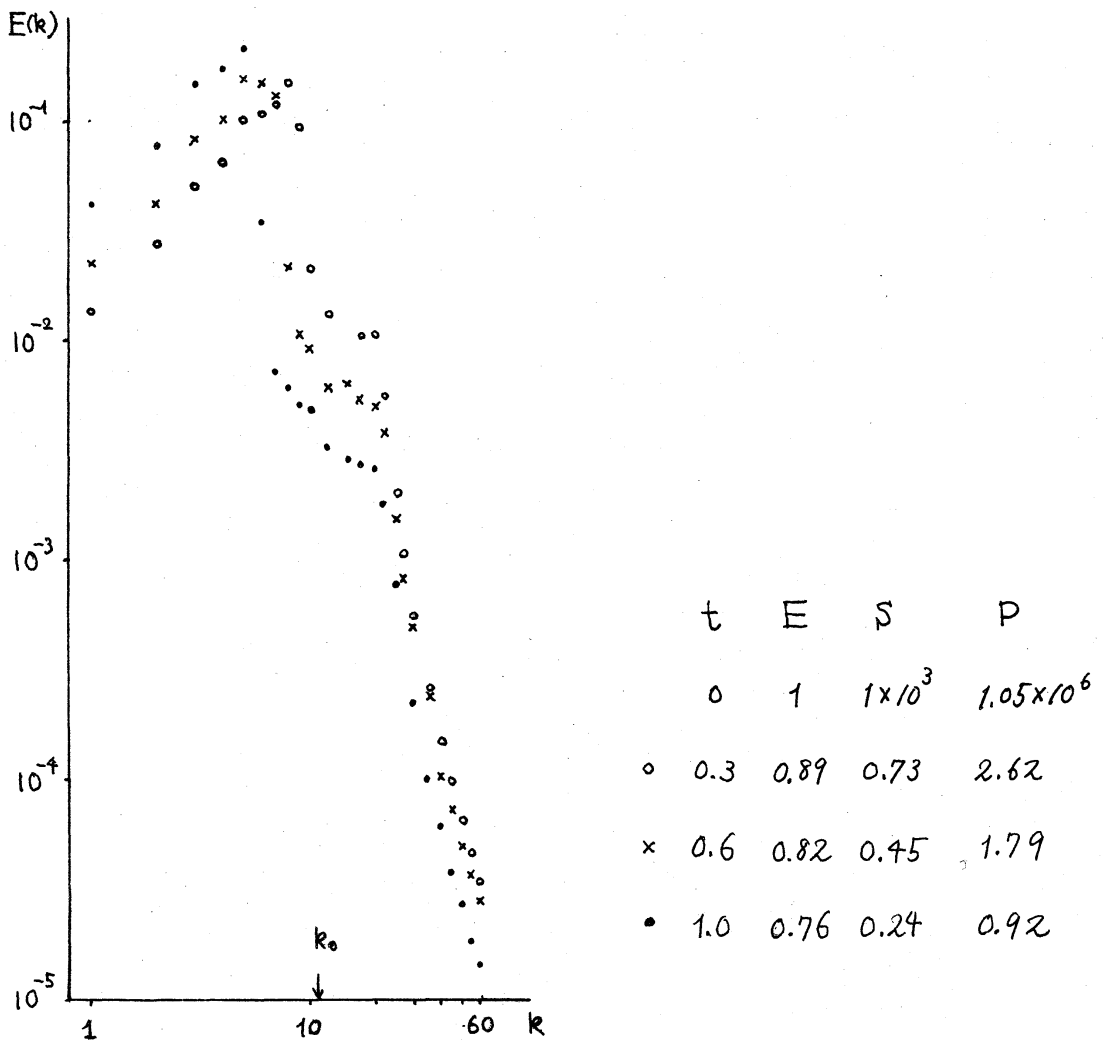


図1. エネルギー・スペクトル

計算例でも明らかに時間と共に低波数領域の励起が見られる。又次元乱流では、3次元乱流のユルモコロフのスペクトルに対応して、 $k^{-3}$ 領域が存在すると考えられている。図1で  $t = 40 \leq k \leq 60$  の範囲には準定常と見られる領域があるが、 $k^{-3}$ よりはむしろ  $k^{-4}$  (近い) ようである。これはレイノルズ数

が充分高くなく、又取り入れていい波数領域が不足していいためかも知れない。又  $P/S$  から決まる波数  $k_c$  附近で折れ曲がりが見られ、 $k < k_c$  の一定の構造を持つような領域が見られるが、その性質はあまり明らかではない。

#### § 4. 平行平板間の二次元乱流に対する定式化

3.2 で提案した方法を、平行平板間の二次元不アヌイエ乱流に適用する。基本領域 $\Omega$ としては、 $-l \leq x \leq l$ ,  $-1 \leq y \leq 1$  の矩形領域を取る。

問題は、粘性率  $\nu$  の流体に一定の圧力差

$$\varpi = p(x=-l) - p(x=l) \quad (27)$$

を加えたときの流れを求めることがある。この場合統計量を指定するパラメータとしては、 $E$ ,  $S$ ,  $P$  以外に平板間の流量  $Q$  を考えに入れなければならぬ。すると (21), (22), (23) に対応して

$$\left\{ \frac{d}{dt} \langle \theta \rangle = \frac{\varpi}{l} + \langle \tau \rangle \right. \quad (28)$$

$$\left\{ \frac{d}{dt} \langle E \rangle = \varpi \langle \theta \rangle - 2\nu \langle S \rangle \right. \quad (29)$$

$$\left\{ \frac{d}{dt} \langle S \rangle = -2\nu \langle P \rangle \right. \quad (30)$$

$$\left\{ \frac{d}{dt} \langle P \rangle = \langle F \rangle - 2\nu \langle G \rangle \right. \quad (31)$$

が基本方程式系である。ここで  $\tau = 2\nu \frac{\partial u_x}{\partial y} |_{y=1}$  である。この場合の平均  $\langle \rangle$  は  $\langle \rangle_{\theta, E, S, P}$  の意味とする。但し圧力差が

定の  $\omega$  ということからもう一つ条件が加わる。壁の上では

$$\nabla P|_{y=\pm 1} = \nu \nabla^2 u|_{y=\pm 1} \quad (32)$$

が成り立つが、これを  $x$  方向に平均して

$$\bar{\omega} = -\nu \int_{-L}^L \frac{\partial^2}{\partial y^2} u_x|_{y=\pm 1} dx \quad (33)$$

を得る。ここで平均を取るときの各の場合は、(33) を満たすよ  
うに選ぶべきとする。

この問題では、条件 (33) のもとで方程式系 (28) ~ (31)  
の定常解を求めることが目的となる。特にボアズイユ流

$$u_p(y) = \frac{\bar{\omega}}{4L\nu} (1-y^2) \quad (34)$$

に対しては

$$\tau = -\frac{\bar{\omega}}{x}, \quad Q = \frac{\bar{\omega}}{3L\nu}, \quad S = \frac{\bar{\omega}^2}{6L\nu^2}, \quad P = F = G = 0$$

となり、(28) ~ (31) の一つの定常解となる。Navier-Stokes 方  
程式の単独の解では、(34) 以外に (28) ~ (31) の定常解は存在  
しないが、集団平均として (28) ~ (31) の右辺が 0 であるよ  
うな統計集団が求められることはよい。この場合にも定常状態は  $\bar{\omega}$   
の値にかかわらず存在する（ $\omega$  が 0 から

$$\langle P \rangle = 0$$

となるが、(31) につけてはボアズイユ流と違つて

$$\langle F \rangle = 2\nu \langle G \rangle \neq 0$$

となる（ $\omega$  が 0 から

まで実際の計算によつては、相空間  $H(\Omega)$  を具体的

12構成しなければならぬ。そこで“速度場  $u(x, y)$ ”を

$$u(x, y) = U(y) \hat{x} + u'(x, y) \quad (35)$$

に分解する。左は  $x$  方向の単位ベクトル  $\hat{x}$  である。平行成分  $U(y)$  は  $x$  軸に関して対称で

$$Q = \int_{-1}^1 u_x dy = \int_{-1}^1 U dy$$

を満たすように決めるものとする。ここで平行成分  $U(y, t)$  を

$$U(y, t) = \sum_{n=1}^{\infty} A_n(t) \phi_n(y), \quad \phi_n(y) = 1 - y^{2n} \quad (36)$$

で展開する。左の部分  $u'(x, y, t)$  は、流れの関数  $\Psi(x, y, t)$  を導入して

$$\Psi(x, y, t) = \sum_{\alpha=1}^4 \sum_{N=1}^{\infty} B_{\alpha}^N(t) \Psi_{\alpha}^N(x, y) \quad (37)$$

とする。 $u'_x = \frac{\partial \Psi}{\partial y}, u'_y = -\frac{\partial \Psi}{\partial x}$  である。N は整数の組  $(n, m)$   
 $n, m = 1, 2, \dots$  を意味するとし、更に  $(n, m)$  を適当に順に並べて番号も表わすとする。 $\Psi_{\alpha}^N(x, y)$  は次のよう定義する。

$$\left\{ \begin{array}{l} \Psi_1^N = \cos(k_n x) C_m(y) \\ \Psi_2^N = \cos(k_n x) S_m(y) \\ \Psi_3^N = \sin(k_n x) C_m(y) \\ \Psi_4^N = \sin(k_n x) S_m(y) \end{array} \right. \quad (38)$$

$\therefore k_n = \frac{n}{2} \pi, n \geq 1$  である。 $C_m(y), S_m(y)$  は Chandrasekhar-Reid 関数で、それぞれ次式で定義される。

$$C_m(y) = \cosh \lambda_m y / \cosh \lambda_m - \cos \lambda_m y / \cos \lambda_m$$

$$S_m(y) = \sinh \mu_m y / \sinh \mu_m - \sinh \mu_m y / \cosh \mu_m$$

但し  $\lambda_m, \mu_m$  は  $\tanh \lambda + \tan \lambda = 0, \coth \mu - \cot \mu = 0$   
の  $m$  番目の正値実数解とする。 $C_m(y), S_m(y)$  は次のよう  
性質を持つ、すなはち

$$(i) \quad C_m(\pm 1) = C'_m(\pm 1) = S_m(\pm 1) = S'_m(\pm 1) = 0$$

$$(ii) \quad \int_{-1}^1 C_m(y) C_n(y) dy = \int_{-1}^1 S_m(y) S_n(y) dy = \delta_{mn}$$

$$\int_{-1}^1 C_m(y) S_n(y) dy = 0$$

$$(iii) \quad C_m'''(y) = \lambda_m^4 C_m(y), \quad S_m'''(y) = \mu_m^4 S_m(y)$$

(i) の性質の  $T_2$  及び  $(38)$  で定義した流れの関数は、境界上で接着の条件を満たす。 $(A_\alpha, B_\alpha^N)$  を座標とする空間を考えると、この空間内の一点は連續の式及び"境界上で"の接着の条件を満たす  $\rightarrow$  の流れの場に対応する。そこで"この空間を非線形項  $\langle F \rangle$  を"のように取扱うのは別の機会にゆく。